

Theoretical Study of Adsorption of Genistein on Graphene and Graphene Doped with Metal Atoms (Ni, Ti, Cr, Se)

Marziyeh Choupani¹ , Afshar Alihosseini^{1*} , Majid Monajjemi¹ , Hossein Sakhaeinia¹ 

¹. Department of Chemical Engineering, Faculty of Technical Engineering, Central Tehran Branch, Islamic Azad University, Tehran, Iran

Article Info

Article type:
Research article

Article History:
Received: 02 May 2022
Revised: 29 June 2022
Accepted: 14 August 2022
Published Online: 17 October 2022

*** Correspondence to:**
Afshar Alihosseini
Department of Chemical Engineering, Faculty of Technical Engineering, Central Tehran Branch, Islamic Azad University, Tehran, Iran.
Email:
Afs.alihosseini@iauctb.ac.ir

ABSTRACT

Introduction: Genistein is an isoflavone that is used as a drug to stop various types of cancer cells, such as breast and prostate cancer. This study aimed to perform molecular simulation of the adsorption process of genistein molecule on pure graphene and genistein on graphene doped with metal atoms (Ni, Ti, Se, and Cr) to increase the adsorption efficiency of the genistein-graphene molecule.

Material & Methods: In this study, a graphene plate (dimensions: 4 × 4) was placed next to the genistein molecule at a distance of 1 to 5 angstroms, using HyperChem Professional software (version 8.0.10). The density functional theory (DFT) was used to simulate the adsorption of Genistein-graphene, and the Gaussian software (version 09), hybrid method (B3LYP), and the 6-31G base set were used to optimally design the molecular structure.

Findings: Based on the obtained results, the adsorption energy of genistein-graphene doped with metal atoms Ni, Se, Ti, and Cr was determined at 318.154, 954.080, 972.745, and 1236.149 kcal/mole, respectively, and the energy gap of genistein-graphene doped with Ni, Ti, Se, and Cr was estimated to be 85.422, 92.476, 102.396, and 94.694 kcal/mol, respectively.

Discussion & Conclusion: The results of this study show that the presence of graphene-doped Ni atoms increases the electron charge density. The energy gap of genistein-graphene doped with Ni atoms indicates reactivity and high electron charge density of this compound and can be used as a suitable option to increase the uptake efficiency of the genistein drug molecule.

Keywords: Adsorption, Density functional theory, Doped, Energy gap, Genistein

➤ How to cite this paper

Choupani M, Alihosseini A, Monajjemi M, Sakhaeinia H. Theoretical Study of Adsorption of Genistein on Graphene and Graphene Doped with Metal Atoms (Ni, Ti, Cr, Se). Journal of Ilam University of Medical Sciences. 2022;30(4): 94-105.



© The Author(s)

Publisher: Ilam University of Medical Sciences

مطالعه نظری جذب مولکول دارویی جنستین بر صفحه گرافن خالص و دوپ شده با اتم های فلزی (Se, Cr, Ti, Ni)

مرضیه چوپانی^۱ ، افشار علی حسینی^{۱*} ، مجید منجمی^۱ ، حسین سخایی نیا^۱

^۱ گروه مهندسی شیمی، دانشکده فنی و مهندسی، واحد تهران مرکز، دانشگاه آزاد اسلامی، تهران، ایران

چکیده

اطلاعات مقاله

نوع مقاله: پژوهشی

تاریخ دریافت: ۱۴۰۱/۰۲/۱۱

تاریخ ویرایش: ۱۴۰۱/۰۴/۰۸

تاریخ پذیرش: ۱۴۰۱/۰۵/۲۳

تاریخ انتشار: ۱۴۰۱/۰۷/۲۵

مقدمه: جنستین یک ایزوفالون است که به عنوان دارو برای متوقف کردن انواع سلول های سرطانی مانند سرطان پستان و

پروستات به کار می رود. هدف از این تحقیق شیوه سازی مولکولی فرایند جذب سطحی مولکول دارویی جنستین روی گرافن خالص و جنستین بر گرافن دوپ شده با اتم های فلزی Ni, Se, Cr و Ti، برای افزایش بازده جذب مولکول دارویی جنستین-گرافن است.

مواد و روش ها: در این مطالعه با استفاده از نرم افزار HyperChem Professional vol.8.0.10 در مقادیر مولکول جنستین در فاصله ۱ تا ۵ انگستروم قرار گرفت. از روش نظریه تابعی چگالی (DFT) برای شیوه سازی جذب جنستین-گرافن و برای طراحی بهینه ساختار مولکولی از نرم افزار Gaussian vol.09 روش هیبرید B3LYP و مجموعه پایه 6-31G* به دلیل پایدارترین ساختار تا رسیدن به میزان مطلوب استفاده شد.

یافته ها: داده های به دست آمده نشان می دهد که انرژی جذب جنستین-گرافن دوپ شده با اتم های فلزی Ni, Se, Cr و Ti به ترتیب ۱/۱۵۴، ۳۱۸/۰۸۰، ۹۵۴/۰۸۰، ۹۷۲/۷۴۵ و ۱۴۹ و ۹۷۲/۷۴۵ کیلو کالری بر مول و شکاف انرژی جنستین-گرافن دوپ شده با Cr, Ti, Se و Ni به ترتیب ۴/۴۲۲، ۸۵/۴۲۲، ۹۲/۴۷۶ و ۱۰۲/۳۹۶ و ۹۴/۶۹۴ کیلو کالری بر مول است.

بحث و نتیجه گیری: نتیجه این تحقیق نشان می دهد که حضور اتم Ni دوپ شده با گرافن، چگالی بار الکترونی را افزایش می دهد. شکاف انرژی جنستین-گرافن دوپ شده با Ni بیانگر واکنش پذیر بودن و چگالی بار الکترونی بالای این ترکیب است و می تواند به عنوان گزینه مناسبی برای افزایش بازده جذب مولکول دارویی جنستین استفاده شود.

نویسنده مسئول:

افشار علی حسینی
گروه مهندسی شیمی-بیوتکنولوژی،
دانشگاه آزاد اسلامی، واحد تهران
مرکزی، تهران، ایران.

Email:
Afs.alihosseini@iauctb.ac.ir

واژه های کلیدی: جنستین، جذب سطحی، دوپ شده، شکاف انرژی، نظریه تابعی چگالی

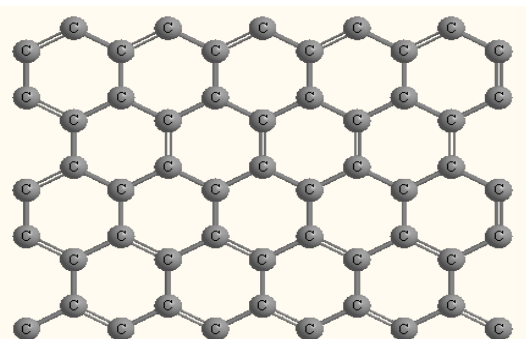
استناد: چوپانی، مرضیه؛ علی حسینی، افشار؛ منجمی، مجید؛ سخایی نیا، حسین. مطالعه نظری جذب مولکول دارویی جنستین بر صفحه گرافن خالص و دوپ شده با اتم های فلزی (Se, Cr, Ti, Ni). مجله علمی دانشگاه علوم پزشکی ایلام، آبان، ۱۴۰۱؛ (۴)۳۰: ۱۰۵-۹۴.



پاکلی تاکسل استفاده کردند. نتایج تحقیق نشان داد، دارویی پاکلی تاکسل با موفقیت در نانوکره- GO-COO-HB-CD با قطر متوسط ۱۰۰ نانومتر جذب می‌شود و حلالیت نانوذرات بارگذاری شده افزایش می‌یابد (۱۷). زای و همکاران اکسید گرافن اصلاح شده با پیتید پروتامین سولفات و سدیم آلثینات را برای بارگذاری داروی ضدسرطان دوکسوروپیسین به کار برdenد. نتایج تحقیقات آنان نشان داد که نانوکامپوزیت GO-PRM/SA-DOX به علت وجود اکسیژن فعال بر سطح اکسید گرافن، سمیت سلولی مناسبی برای سلول‌های سرطانی از خود نشان می‌دهد (۱۸). با توجه به ماهیت خنثی بودن، زیستسازگاری گرافن و تعامل آن با سیستم‌های زنده، آثار نامطلوبی در شرایط زندگی آن‌ها ایجاد نمی‌کند و اطلاعات کمی در رابطه با اثر طولانی‌مدت گرافن بر سلامت انسان موجود است (۱۹-۲۰).

درجهٔ سمیت گرافن به عواملی چون مورفولوژی، بار و تغییرات سطحی، خلوص و انباستکی و انتخاب رده سلولی بستگی دارد (۲۱). کومار و همکاران تأثیر عناصر گروه پلاتین، روتنیوم، پالادیوم، اسمیم، ایریدیوم، پلاتینیوم و روdim بر گرافن و محاسبه انرژی پایداری و شکاف انرژی را بررسی کردند. نتایج بدست آمده از تحقیق آنان نشان داد که دوب کردن گرافن با عناصر یادشده خصوصیات ساختاری نوری آن را افزایش می‌دهد و پیوند حاصل از نوع کووالانسی است (۲۲). جیامینگ و همکاران با استفاده از نظریهٔ تابعی چگالی (DFT)، جذب مولکول گازهای CO_2 , NO_2 و SO_2 را بررسی دوپ شده با اتم فلزات واسطه (Fe , Ni , Co و Cu) را بررسی نمودند. نتایج تحقیقات آنان نشان داد که گرافن دوپ شده با اتم‌های Fe مناسب‌ترین میزان جذب مولکول‌های گاز ($\text{NO}_2 / \text{Fe-MG}$) (NO₂) در کمترین فاصله میان گرافن-مولکول گاز را نشان می‌دهد (۲۳). العتبی و همکاران محاسبات نظری طیف‌سنجدی و مکانیک کوانتموئی را برای چهار ترکیب فعل فلاؤنوئید با

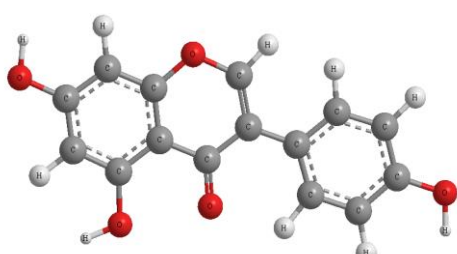
گرافن با ویژگی‌هایی از قبیل سطح تماس فراوان، سمیت پایین، نسبت بارگیری مناسب (نسبت وزنی مواد دارویی بارگذاری شده به گرم حامل)، زیستسازگاری، سبکی، نازکی، ساختار لانه‌زنبری و چگالی بار الکترونی بالا، کاربرد وسیعی در داروسازی به عنوان حامل دارو و مهندسی بافت دارد (۳-۱۳). جنستین یک ایزوفلاؤن اصلی در محصولات غذایی مبتنی بر سویا است که برای متوقف کردن انواع سلول‌های سرطانی مانند سرطان پستان و پروستات به کار می‌رود (۴). ایزوفلاؤن حاصل از سویا می‌تواند اهداف مختلف مولکولی را تحت تأثیر قرار دهد و بر پاسخ نهایی سلول‌های سرطانی اثر بگذارد (۵-۹). با استفاده از روش‌های آنالیز دستگاهی از جمله طیف سنج جرمی و کروماتوگرافی مایع می‌توان خصوصیات جنستین و توانایی انتقال دارو را مطالعه کرد (۱۰-۱۴). در ساختار گرافن، هر اتم کربن با سه اتم کربن دیگر پیوند برقرار می‌کند و اوریتال خالی در گرافن مکان مناسبی برای پیوند با گروه‌های عاملی است. جنستین با فرمول مولکولی C15H10O5 ایزو- Se داشتن اتم‌های هیدروژن و اکسیژن و حلقةٌ آروماتیک، قابلیت برقراری برهم‌کشش قوی با صفحهٔ گرافن را دارد که برای واکنش پذیری بیشتر، صفحهٔ گرافن را با اتم‌های عناصر Cr , Ti , Ni و Se دوب می‌کند (۱۵). پژوهشگران با استفاده از روش های تئوری و تجربی، عملکرد گرافن به تهایی و استخلاف آن با نانوذرات را در جهت جذب مولکول های دارویی ارزیابی کردند. کاویتا و همکاران اکسید گرافن را با پلی (۲-۱۶) (دی‌اتیل آمینو- اتیل متاکریات) (PDEA) عامل‌دار نمودند و برای رهایش داروی کمپتوتسین استفاده کردند. آنان دریافتند سامانه انتقال دارو از نظر بارگذاری و فعالیت زیستی دارو در وضعیت مناسبی قرار دارد (۱۶). تان و همکاران گرافن را به عنوان حامل دارویی بر اساس هیدروکسی پروپیل- بتا-سیکلودکسترین (HP- β -CD) و اکسید گرافن کربوکسیله‌شده (GO-COOH) برای داروی ضدسرطان



شکل شماره ۱. فرمول ساختاری صفحه گرافن خالص با ابعاد 4×4

جنسین-گرافن برای تغییر فاصله میان دو مولکول در نرم افزار ChemBio3D شیوه‌سازی گردید. از روش نظریه تابعی چگالی و برتری آن نسبت به هارتری فاک برای شیوه‌سازی جذب جنسین-گرافن استفاده شد. برای طراحی بهینه ساختار مولکولی از نرم افزار Gaussian vol.09 روشن هیبرید B3LYP و مجموعه پایه^{*} 6-31G* به دلیل پایدارترین ساختار تا رسیدن به میزان مطلوب استفاده گردید (۲۸، ۲۹). پس از بهینه شدن ساختار مولکولی، بر اساس معادله شماره ۱، میزان انرژی کل جذب مولکول جنسین بر گرافن خالص بدست آمد.

در صفحه گرافن، به جای ۹ اتم کربن در هر مرحله، به ترتیب اتم های عناصر Ni، Cr، Ti و Se قرار گرفت. با توجه به اینکه اتم های یادشده در دسته عناظر واسطه قرار دارند، به علت تراکم الکترونی در اوربیتال d، مناسب ترین جذب ممکن را ایجاد می کنند. اتم های فلزی در موقعیت کریستالو گرافی ijk (110) روی گرافن دوپ شدند؛ سپس مولکول جنسین در جهت موازی با صفحه گرافن، در راستای محور X مطابق شکل شماره ۳ به جاذب نزدیک گردید و



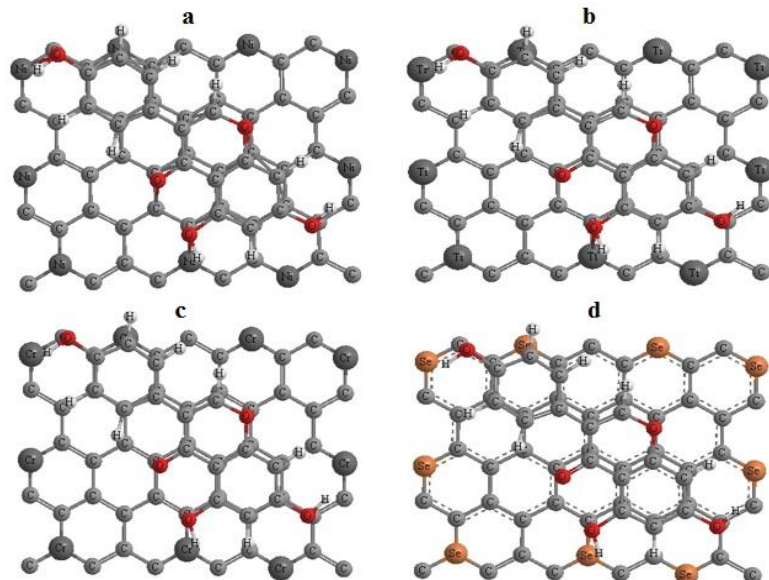
شکل شماره ۲. فرمول ساختاری مولکول جنسین

خاصیت دارویی (جنسین، آپیژین، بایکالین و فیستین) انجام دادند. نتایج تحقیق‌شان نشان داد که انرژی جذب جنسین-گرافن بیشترین مقدار و انرژی جذب گرافن-بایکالین کمترین مقدار است (۲۴). اسرافیلی و ابراهیمی جذب مولکول هیدروژن را بر صفحه گرافن دوپ شده با اتم های Ni و N انجام دادند. نتایج تحقیقات آنان نشان داد که اتم Ni به طور مؤثری با اتم های N دوپ شده در بستر گرافنی برهم کنش می‌دهد (۲۵).

نظریه تابعی چگالی از روش های نیرومند در محاسبات کوانتوسی است که به طور گسترده در مدل سازی ساختارهای سطحی و ویژگی های مغناطیسی در جذب اتم های فلزی روی صفحه گرافن استفاده می شود (۲۶، ۲۷). هدف اصلی از انجام این پژوهش مطالعه نظری جذب سطحی ماده دارویی جنسین بر گرافن خالص و گرافن دوپ شده با اتم های Ni، Ti، Cr و Se با استفاده از محاسبات کوانتوسی و تخمین انرژی جذب و شکاف انرژی ساختار جنسین-گرافن است. با توجه به اینکه مطالعات اندکی درباره جذب مولکول جنسین به عنوان ماده دارویی روی صفحه گرافن دوپ شده با اتم های Ni، Ti، Cr و Se انجام شده است؛ بنابراین، نوآوری در تحقیق حاضر را می‌توان به تأثیر گرافن دوپ شده با اتم های فلزی یادشده بر پایه نظریه تابعی چگالی در جذب مولکول جنسین و شکاف انرژی آن نسبت به روش هارتری فاک (HF) (که مبنی بر استفاده از تابع موج است) نسبت داد.

مواد و روش ها

در تحقیق حاضر از نرم افزارهای Gaussian vol.09، HyperChem Professional vol.8.0.10 و Bio3D طراحی شبکه ساختاری گرافن، مولکول جنسین با فرمول مولکولی C15H10O5 چگالی بار الکترون و محاسبه انرژی های جذب و شکاف و تعیین فاصله تعادلی استفاده شد. صفحه گرافن مطابق شکل شماره ۱، با ابعاد 4×4 در مجاورت مولکول جنسین مطابق شکل شماره ۲، در فاصله ۱ تا ۵ انگستروم قرار گرفت و ساختار سه بعدی

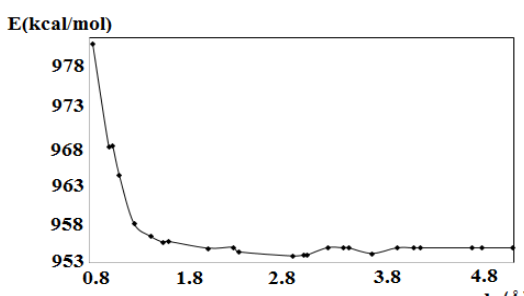


شکل شماره ۳. ساختار و موقعیت جذب مولکول داروی جنستین روی صفحه گرافن دوپ شده با اتم های فلزی (a) Ni (b) Cr (c) Ti (d) Se

که در این روابط، $E_{Ge-Ti-G}$, $E_{Ge-Cr-G}$, $E_{Ge-Ni-G}$ و $E_{Ge-Se-G}$ انرژی های کلی حاصل از واکنش مولکول جنستین روی صفحات گرافن دوپ شده با عناصر Ni, Cr, Ti و Se است.

یافته ها

جذب مولکول جنستین روی گرافن خالص: مولکول جنستین توسط نرم افزار ChemBio3D روی صفحه گرافن خالص قرار گرفت و با استفاده از معادله شماره ۱، در فاصله بین مولکول و صفحه گرافن خالص (۱ تا ۵ انگستروم) مقدار انرژی کل جذب محاسبه شد. شکل شماره ۴ انرژی جذب مولکول جنستین-گرافن خالص در این فاصله را نمایش می دهد. همان گونه که شکل



شکل شماره ۴. انرژی جذب مولکول داروی جنستین و صفحه گرافن خالص بر حسب فاصله (انگستروم)

بر اساس محاسبات به دست آمده از برنامه گوسین با استفاده از معادلات زیر، انرژی جذب در مراحل مختلف به دست آمد:

$$E_{ad(Ge \text{ on } G)} = E_{Ge-G} - (E_G + E_{Ge}) \quad (1)$$

: انرژی کل حاصل از واکنش گرافن با مولکول جنستین

: انرژی کل یک مولکول گرافن

: انرژی کل گرافن خالص

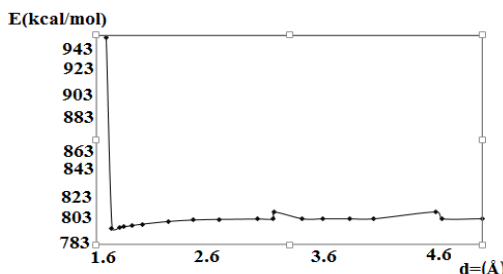
در صفحه گرافن، به جای ۹ اتم کربن در هر مرحله، به ترتیب اتم های عناصر Se, Cr, Ti, Ni قرار گرفت. با توجه به اینکه اتم های یاد شده در دسته عناصر واسطه قرار دارند، به علت تراکم الکترونی در اوربیتال d ، مناسب ترین جذب ممکن را ایجاد می کنند. اتم های فلزی در موقعیت کریستالوگرافی (110) ijk روی گرافن دوپ شدند؛ سپس مولکول جنستین در جهت موازی با صفحه گرافن، در راستای محور X مطابق شکل شماره ۳ به جاذب نزدیک گردید و بر اساس محاسبات به دست آمده از برنامه گوسین با استفاده از معادلات زیر، انرژی جذب در مراحل مختلف به دست آمد:

$$E_{ad(Ge \text{ on } Ni-G)} = E_{Ge-Ni-G} - (E_{Ni-G} + E_{Ge}) \quad (2)$$

$$E_{ad(Ge \text{ on } Cr-G)} = E_{Ge-Cr-G} - (E_{Cr-G} + E_{Ge}) \quad (3)$$

$$E_{ad(Ge \text{ on } Ti-G)} = E_{Ge-Ti-G} - (E_{Ti-G} + E_{Ge}) \quad (4)$$

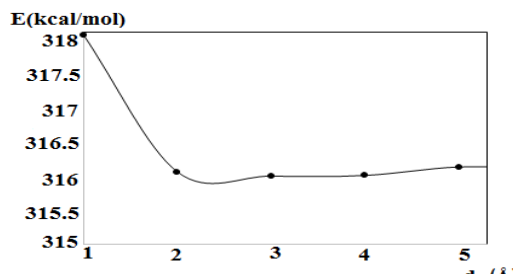
$$E_{ad(Ge \text{ on } Se-G)} = E_{Ge-Se-G} - (E_{Se-G} + E_{Ge}) \quad (5)$$



شکل شماره ۶. انرژی جذب مولکول داروی جنسنین و صفحه گرافن دوبُشده با اتم‌های Ti بر حسب فاصله (انگستروم)

انرژی جذب جنسنین روی گرافن- Ti دوبُشده - کیلوکالری بر مول است.

انرژی جذب مولکول جنسنین روی گرافن دوبُشده با اتم Se در این بخش از تحقیق، ۹ اتم کربن در صفحه گرافن با ۹ اتم Se جایگزین گردید و مولکول جنسنین در فواصل (۱ تا ۵ انگستروم) از صفحه گرافن دوبُشده با اتم Se قرار گرفت. شکل شماره ۷ انرژی جذب مولکول جنسنین بر صفحه گرافن دوبُشده با اتم Se در فاصله ۱ تا ۵ انگستروم را نمایش می‌دهد. همان گونه که در این شکل آشکار است، با افزایش فاصله مولکول جنسنین-گرافن دوبُشده با Se، میزان انرژی جذب کاهش می‌یابد و به مقدار ۹۵۶/۴۹۸ کیلوکالری بر مول می‌رسد. بیشترین مقدار انرژی جذب در فاصله ۰/۸۲ انگستروم، برابر با ۹۷۲/۷۴۵ کیلوکالری بر مول و کمترین مقدار انرژی جذب در فاصله ۴/۱۷۱ انگستروم، برابر با ۹۵۶/۴۵۷ کیلوکالری بر مول بدست آمد که نشان دهنده نیروهای دافعه الکترونی در فاصله کمتر از فاصله تعادلی است؛ به عبارتی، انرژی جذب جنسنین-گرافن دوبُشده



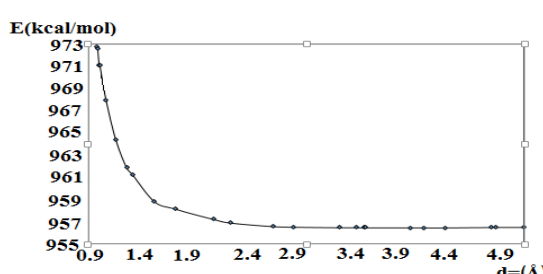
شکل شماره ۵. انرژی جذب مولکول داروی جنسنین و صفحه گرافن دوبُشده با اتم‌های Ni بر حسب فاصله (انگستروم)

شماره ۴ نشان می‌دهد، در فاصله ۰/۸ انگستروم، میزان انرژی جذب میان مولکول جنسنین-گرافن معادل ۹۷۸ کیلوکالری بر مول و در فاصله تعادلی ۲/۸۷۴ انگستروم، معادل ۹۵۳ کیلوکالری بر مول است.

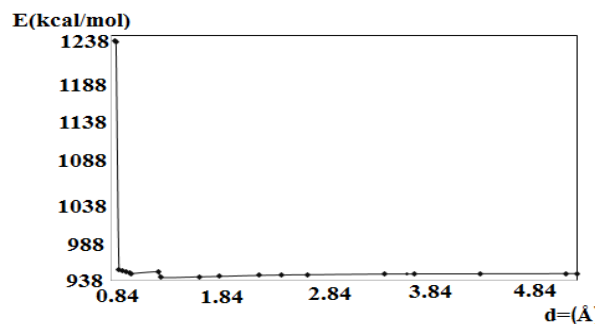
انرژی جذب مولکول جنسنین-گرافن دوبُشده با Ni برای مطالعه انرژی جذب گرافن دوبُشده با اتم‌های فلزی در جذب جنسنین، ۹ اتم کربن در صفحه گرافن با ۹ اتم Ni جایگزین شد و مولکول جنسنین در فاصله ۱ تا ۵ انگستروم از صفحه گرافن دوبُشده با اتم Ni قرار گرفت. شکل شماره ۵ انرژی جذب مولکول جنسنین بر صفحه گرافن دوبُشده با Ni در این فاصله را نشان می‌دهد. همان گونه که از شکل شماره ۵ پیداست، انرژی حاصل از جذب جنسنین-گرافن دوبُشده با Ni در فاصله ۱ تا ۲ انگستروم، ۳۱۸ تا ۳۱۶ کیلوکالری بر مول است.

انرژی جذب جنسنین بر روی گرافن دوبُشده با Ti برای مطالعه انرژی جذب جنسنین-گرافن دوبُشده با ۹ اتم کربن در صفحه گرافن با موقعیت یادشده با ۹ اتم Ti جایگزین شد. انرژی جذب مولکول جنسنین-گرافن در فاصله ۱ تا ۵ انگستروم از صفحه گرافن دوبُشده با اتم Ti محاسبه گردید.

همان گونه که در شکل شماره ۶ مشاهده می‌شود، در فاصله تعادلی ۱/۶ انگستروم، انرژی جذب از ۹۴۳ به ۷۸۳ کیلوکالری بر مول کاهش می‌یابد. در کمتر از فاصله تعادلی به سبب نیروی دافعه الکترونی میان مولکول جنسنین و گرافن دوبُشده با Ti ، انرژی جذب ۹۴۳ کیلوکالری بر مول بیشترین مقدار را دارد؛ به عبارتی،



شکل شماره ۷. انرژی جذب مولکول داروی جنسنین و صفحه گرافن دوبُشده با اتم‌های Se بر حسب فاصله (انگستروم)



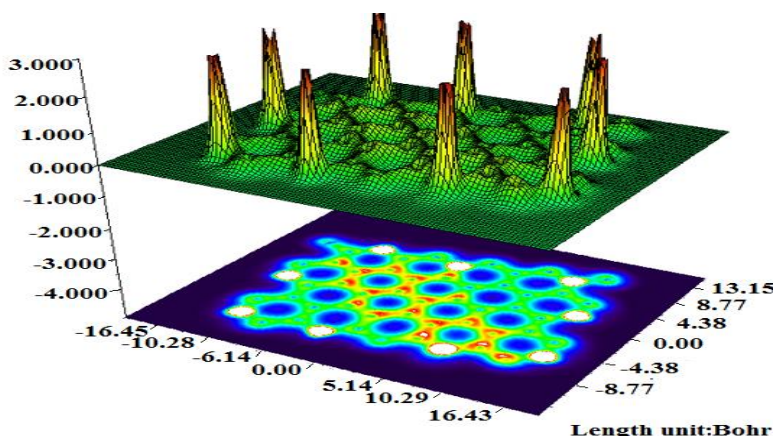
شکل شماره ۸. انرژی جذب مولکول داروی جنتین و صفحه گرافن دوبُشدۀ با اتم‌های Cr بر حسب فاصله (انگسترم)

همان‌گونه که داده‌های حاصل از تحقیق نشان می‌دهد، انرژی حاصل از جذب جنتین و گرافن دوبُشدۀ با اتم فلزی در بعضی از اتم‌ها پایین و در بعضی از آن‌ها به نسبت بیشتر است. با توجه به اینکه انرژی جذب پایین نشان از جذب سطحی دارو روی جاذب و به تبع آن، رهاسازی آسان در محل هدف است؛ بنابراین، فاصله تعادلی مولکول جنتین بر گرافن دوبُشدۀ با اتم Ni در فاصله ۱ تا ۲ انگسترم و انرژی جذب ۳۱۸ تا ۳۱۶ کیلوکالری بر مول مناسب‌ترین حالت برای دوبُشدۀ گرافن است. با مقایسه شکل‌های شماره ۹ و ۱۰ می‌توان دریافت که با افزایش فاصله میان جاذب و جذب شونده (جنتین و صفحه گرافن دوبُشدۀ با اتم Ni)، میزان انتقال الکترون کاهش می‌یابد (۱۱۲/۵ انگسترم) و با کاهش فاصله (۱۱۰/۱ انگسترم) با توجه به پیک‌های سبزرنگ موجود روی مولکول جنتین (شکل شماره ۹)، میزان انتقال الکترون به علت ایجاد جذب نیرومند میان جاذب و جذب شونده، افزایش می‌یابد.

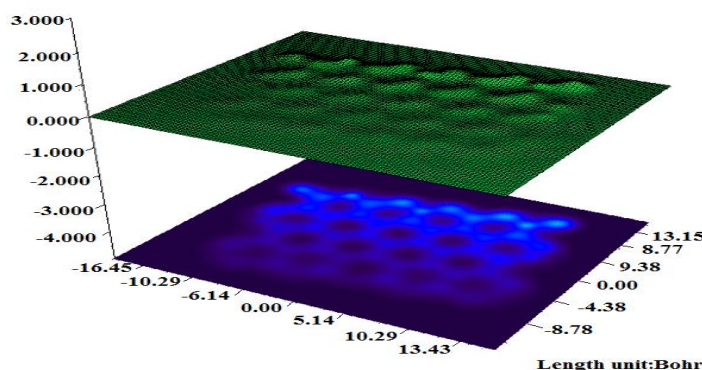
محاسبه شکاف انرژی (HOMO-LUMO): شکاف انرژی برای مولکول جنتین-گرافن خالص و جنتین-گرافن دوبُشدۀ با اتم‌های فلزی Se، Cr، Ti، و Ni در فاصله ۱ تا ۵ انگسترم محاسبه گردید. شکل شماره ۱۱ مقایسه این مقادیر را نمایش می‌دهد.

با Se برابر ۱۶/۲۹ - کیلوکالری بر مول است.

انرژی جذب مولکول جنتین-گرافن دوبُشدۀ با اتم Cr. برای مطالعه انرژی جذب جنتین-گرافن دوبُشدۀ با اتم Cr، اتم کربن در صفحه گرافن با ۹ اتم Cr جایگزین گردید و مولکول جنتین در فاصله ۱ تا ۵ انگسترم از صفحه گرافن دوبُشدۀ با اتم Cr قرار گرفت. همان‌گونه که شکل شماره ۸ نشان می‌دهد، در فاصله ۱۲۳۸/۰ انگسترم، بیشترین میزان انرژی جذب ۱۲۳۸ کیلوکالری بر مول است که نشان دهنده وجود جذب واندروالسی قوی میان اتم‌های مولکول جنتین و گرافن دوبُشدۀ با Cr است و پس از این فاصله، انرژی جذب کاهش چشمگیری داشت و در فاصله ۹۱۴/۰ انگسترم، به ۹۵۱/۶۱۹ کیلوکالری بر مول رسید؛ به عبارتی، انرژی حاصل از جذب جنتین-گرافن دوبُشدۀ با Cr معادل ۲۸۶/۳۸۱ کیلوکالری بر مول است.



شکل شماره ۹. رابطه انتقال الکترون جنتین-صفحة گرافن دوبُشدۀ با اتم Ni در فاصله ۱/۱۸۰ (انگسترم)



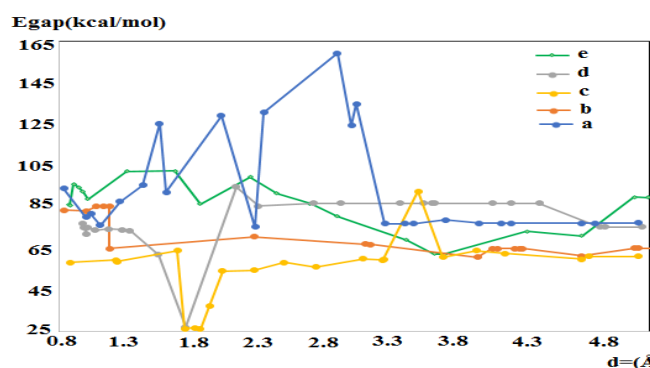
شکل شماره ۱۰. رابطه انتقال الکترون جنستین-صفحة گرافن دوپ شده با اتم Ni در فاصله ۱۱۲/۵ (انگstrom)

افزایش فاصله، شکاف انرژی افزایش یافته است، به گونه‌ای که شکاف انرژی جنستین-گرافن خالص از شکاف انرژی جنستین-گرافن با اتم‌های دوپ شده فلزی بیشتر است.

جدول شماره ۱ شکاف انرژی جذب جنستین-گرافن خالص و جنستین-گرافن دوپ شده با اتم‌های فلزی با تغییر فاصله را نمایش می‌دهد (محاسبات با استفاده از نرم‌افزار گوسین به دست آمده است) و مقایسه شکاف انرژی ترکیب‌های فعال فلاونوئید دارویی و گرافن خالص در جدول شماره ۲ آمده است.

.(۲۳)

همان‌گونه که در شکل شماره ۱۱ مشاهده می‌شود، بیشترین مقدار شکاف انرژی در گرافن خالص-جنستین برابر با ۱۵۹/۱۴۸ کیلوکالری بر مول است. برای اتم‌های Se, Cr, Ti و Ni دوپ شده با گرافن، بیشترین مقدار شکاف انرژی به ترتیب برابر با ۸۵/۴۲۲، ۹۴/۶۹۱، ۹۲/۴۷۶ و ۱۰۲/۳۹۶ است. با توجه به شکاف انرژی در هر مرحله و مقایسه آن‌ها با انرژی جذب می‌توان نتیجه گرفت که دوپ کردن گرافن با Ni انرژی جذب کمتری در مقایسه با سایر اتم‌های دوپ شده با گرافن دارد؛ همچنین شکاف انرژی به دست آمده در این حالت نشان می‌دهد که با



شکل شماره ۱۱. شکاف انرژی مولکول جنستین و صفحه گرافن دوپ شده با اتم‌های Cr-G-Ge (e) Se-G-Ge (d) Ti-G-Ge (c) Ni-G-Ge (b) G-Ge (a)

جدول شماره ۱. مقادیر انرژی جذب و شکاف انرژی مولکول جنستین-گرافن خالص و جنستین-گرافن دوپ شده با اتم‌های فلزی (Se, Cr, Ti, Ni) و

System	$d_e(\text{\AA})$	$E_{ad}(\text{kcal/mol})$	$E_{gap}(\text{kcal/mol})$
Genistein-PG	۲/۲۶۵	۹۵۴/۹۸۴	۷۵/۲۶۳
Genistein-NiG	۱/۱۸۰	۳۱۸/۱۵۳	۶۰/۶۲۹
Genistein-TiG	۱/۸۵۴	۷۹۷/۴۸۰	۲۵/۸۱۵
Genistein-CrG	۳/۶۶۹	۹۴۶/۷۲۵	۶۱/۹۴۷
Genistein-SeG	۱/۷۴۴	۹۵۸/۱۵۴	۴۵/۲۵۲

جدول شماره ۲. مقایسه شکاف انرژی ترکیب های فعال دارویی و
گرافن خالص (۲۳)

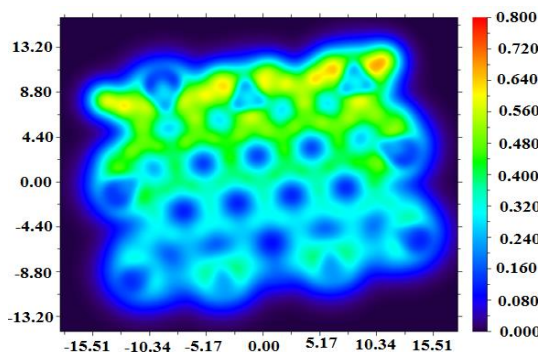
System	Egap(kcal/mol)
Genistein-PG	۲/۴۷۴
Apigenin-PG	۲/۷۴۱
Baicalein-PG	۲/۰۶۲
Fisetin-PG	۱/۹۸۶

دوبعدی Ni دوپ شده بر صفحه گرافن در فاصله ۵/۱۱۲ انگسترم را نشان می دهد.

همان گونه که در تصویر مشاهده می شود، چگالی الکترون ضعیفی در کل صفحه وجود دارد و تقریباً همه نقاط به رنگ آبی و سبز ایجاد شده است که نشان دهنده جذب ضعیف میان اتم ها در فاصله ۵/۱۱۲ انگسترم است و مولکول جنستین از صفحه گرافن دوپ شده با اتم Ni میزان جذب کمتری صورت گرفته است. از مقایسه توپوگرافی LOL می توان نتیجه گرفت که در فاصله های نزدیک مولکول جنستین و صفحه گرافن دوپ شده با اتم های Ni، چگالی الکترون افزایش و قدرت جذب بهتری صورت گرفته است (۳۴، ۳۵).

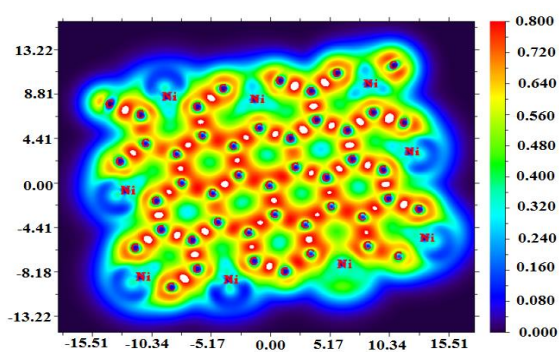
مقایسه طول و زاویه پیوند میان مولکول جنستین- گرافن خالص و جنستین- گرافن دوپ شده با اتم های فلزی: جدول شماره ۳ طول پیوند جنستین- گرافن را پیش و پس از دوبعدن با اتم های فاز Se، Cr، Ti و Ni نشان می دهد (مقادیر با استفاده از نرم افزار ChemBio3D به دست آمده است). همان گونه که مشاهده می شود، گرافن دوپ شده با اتم Ni نسبت به دیگر انواع اتم ها، در طول و زاویه پیوند مؤثرتر است که تغییر طول پیوند در برهمن کش اتم اکسیژن گروه هیدروکسیل مولکول جنستین و اتم Ni دوپ شده در صفحه گرافن در جدول شماره ۴ آمده است.

نتایج حاصل از محاسبه انرژی جذب گرافن خالص نشان



شکل شماره ۱۳. توپوگرافی دوبعدی جذب مولکول جنستین روی صفحه گرافن دوپ شده با اتم های Ni در فاصله ۵/۱۱۲ (انگسترم)

به طور کلی، واکنش پذیری شیمیایی با کاهش انرژی های LUMO و افزایش انرژی های HOMO بالا می رود؛ به عبارتی، گونه های شیمیایی نرم تر از گونه های سخت تر واکنش پذیرترند (۳۳). با توجه به مطالب ذکر شده، گرافن دوپ شده با Ni شکاف انرژی کمتر و واکنش پذیری بیشتری دارد و پیوند Ni-O و Ni-H نسبت به گرافن خالص، افزایش طول داشت که نشان دهنده برهمن کش مناسب میان دو مولکول است. شکل شماره ۱۲ توپوگرافی دوبعدی گرافن دوپ شده با Ni در فاصله ۱/۱۸ انگسترم را نشان می دهد. همان گونه که مشاهده می شود، نقاط نزدیک هسته اتم های کربن قدرت الکترونی بالا (نقاط قرمزنگ) و نقاط نارنجی رنگ (قرمز مایل به نارنجی) قدرت الکترونی کمتری نسبت به مناطق قرمزنگ (حدود ۰/۸-۰/۹) دارند. پیوند C-C دارای خاصیت کووالانسی بسیار و چگالی الکترون بالا است؛ اما در نواحی ای که اتم های Ni وجود دارد (نقاط آبی رنگ)، قدرت الکترونی اندک و در فاصله تعادلی از مولکول جنستین ایجاد شده است. شکل شماره ۱۳ توپوگرافی



شکل شماره ۱۲. توپوگرافی دوبعدی جذب مولکول جنستین بر صفحه گرافن دوپ شده با اتم های Ni در فاصله ۱/۱۸۰ (انگسترم)

جدول شماره ۳. طول پیوند و زاویه پیوند جنستین-گرافن خالص و جنستین-گرافن دوپ شده با اتم های فلزی (Cr, Ti, Ni و Se)

نام جذب	زاویه پیوند (درجه)	طول پیوند در فاصله تقریبی ۱ انگسترم
جنستین-گرافن خالص	۱۱۶/۹	C-H: ۰/۱۶۹؛ C-O: ۱/۷۱۷
جنستین-گرافن دوپ شده با Ni	۱۴۴/۶	Ni-H: ۳/۵۴۰؛ Ni-O: ۲/۶۳۶
جنستین-گرافن دوپ شده با Ti	۱۱۸	Ti-H: ۱/۰۸۸؛ Ti-O: ۱/۸۲۸
جنستین-گرافن دوپ شده با Cr	۱۱۸/۶	Cr-H: ۱/۱۰۹؛ Cr-O: ۰/۹۲۷
جنستین-گرافن دوپ شده با Se	۱۱۵/۹	Se-H: ۱/۱۸۳؛ Se-O: ۱/۸۹۰

روی صفحه گرافن Ti جذب می شود؛ اما انتقال بار اندکی میان H و Ti انجام می گیرد. انرژی جذب حدود ۵/۹۹۵ کیلوکالری بر مول بدست آمد که نشان می دهد اتم Ti تأثیری بر جذب مولکول H نداشته است و گرافن به طور خالص می تواند جذب مؤثرتری داشته باشد (۳۰). نتایج تحقیق زو و همکاران در جذب مولکول H₂CO روی صفحه گرافن نشان می دهد که در اثر فرایند جذب، اتم اکسیژن H₂CO نزدیک به اتم های Cr در صفحه گرافن دوپ شده، تغییری در ساختار گرافن ایجاد نمی کند و تنها میزان طول پیوند میان اتم Cr-C تغییر می یابد (۳۲). محاسبات حاصل از تحقیق حاضر نشان داد که بیشترین میزان انرژی جذب مولکول جنستین بر صفحه گرافن دوپ شده با اتم های Cr و Ti تقریباً نزدیک به هم و در حدود ۹۵۰-۹۸۱ کیلوکالری بر مول است، در صورتی که برای اتم های Ni دوپ شده با گرافن در حدود ۳۱۸ کیلوکالری بر مول بود که نشان دهنده واکنش پذیر بودن Ni در مقایسه با سایر اتم ها است. پس از اتم Ni، اتم Ti به نسبت دو اتم Cr و Se، برای جذب مولکول جنستین مناسب است. علاوه بر این، در پژوهش حاضر، نظر به اهمیت اتم Ni در فرایند جذب جنستین،

داد که انرژی جذب جنستین-گرافن خالص در فاصله تعادلی ۲/۸۷۴ انگسترم معادل ۲۵ کیلوکالری بر مول است. در پژوهش العتبی و همکاران روی جذب جنستین-گرافن، بیشترین میزان انرژی جذب بدون در نظر گرفتن فاصله، ۴/۰۵۹ کیلوکالری بر مول بدست آمد که در مقایسه با مولکول های دارای حلقة فنی از جمله آپیژنین و بایکالین و فیستین بیشتر است (۲۳)؛ همچنین محاسبات انرژی جذب مولکول گرافن دوپ شده با Ni نشان داد که افزایش فاصله جنستین-گرافن اصلاح شده با Ni (بیشتر از ۲ انگسترم) تأثیر چندانی بر انرژی جذب ندارد. علاوه بر این، مقدار انرژی جذب در رابطه با جذب جنستین-گرافن خالص به مراتب پایین تر است و به نوعی جذب به سوی جذب فیزیکی تمایل دارد. مقایسه مقدار انرژی جذب جنستین-گرافن دوپ شده با Ti و انرژی جذب جنستین-گرافن دوپ شده با Ni نشان دهنده تمایل جذب به سوی شیمیابی است. با افزایش فاصله از ۱/۸۵۴ انگسترم، میزان انرژی جذب به علت تغییر نداشتن طول پیوند، ثابت و سیستم پایدار است. نتایج تحقیق چو و همکاران روی جذب مولکول H بر گرافن دوپ شده با اتم Ti نشان می دهد که گرافن دوپ شده با Ti قابلیت جذب ۸ اتم H را دارد که به صورت مولکولی

جدول شماره ۴. طول پیوند اکسیژن-جنستین در اختلاف گرافن دوپ شده با اتم Ni در فاصله بین ۱ تا ۵ انگسترم

فاصله تعادلی (Å)	طول پیوند اکسیژن-جنستین (Å)	نوع پیوند
۰/۸۸۸	۰/۸۳۹	Ni-O
۱/۰۴۵	۱/۰۰۳	Ni-O
۲/۷۷۸	۲/۲۵۳	Ni-O
۳/۵۰۹	۳/۱۲۱	Ni-O
۴/۳۹۷	۴/۰۲۷	Ni-O
۵/۳۲۹	۵/۱۱۲	Ni-O

بیشتری در زمینه آزمایشگاهی صورت گیرد تا بتوان نتایج به دست آمده داره با قاطعیت بیشتری توصیف کرد.

تشکر و قدردانی

بدین وسیله از همه کسانی که در انجام این تحقیق ما را یاری کردند و از دانشگاه آزاد تهران مرکز برای حمایت هایشان تشکر و قدردانی می گردد.

تعارض منافع

نویسنده گان مقاله هیچگونه تعارض منافعی با همدیگر ندارند.

نمودار چگالی الکترون جنسنین-گرافن دوب شده با Ni در فاصله ۱/۱۸۰ انگستروم مطابق شکل شماره ۹ مطالعه شد. درنهایت، نتایج به دست آمده از این تحقیق، جاذب گرافن دوب شده با اتم Ni را مناسب ترین جاذب در مقایسه با سایر اتم های دوب شده بر صفحه گرافن، برای جذب داروی جنسنین پیشنهاد می کند، چرا که نتایج حاصل از تحقیق نشان داد عنصر Ni در مقایسه با سایر عناصر جذب بهتری ایجاد کرده و به دلیل اینکه با دوب شدن Ni بر روی گرافن داروی جنسنین بهتر جذب شده است از این عنصر می توان برای افزایش جذب داروی ضد سرطان جنسنین روی ورق گرافن استفاده کرد برای بررسی دقیق تر نیاز است تا تحقیقات

References

1. Stankovich S, Dikin DA, Dommett GH, Kohlhaas KM, Zimney EJ, et al. Graphene-based composite materials. *Nature* 2006; 442:282-6. doi.org/10.1038/nature04969.
2. Qiu L, Li Z, Qiao M, Long M, Wang M, et al. Self-assembled pH-responsive hyaluronic acid–g-poly (l-histidine) copolymer micelles for targeted intracellular delivery of doxorubicin. *Acta Biomater* 2014 ; 10:2024-35. doi.org/10.1016/j.actbio.2013.12.025.
3. Alihosseini A, Choupani M, Monajjemi M, Sakhaeinia H. Analysis and comparison of metal-doped on graphene-genistein using QM/MM calculations. *Rev Fac Ingenier Uni Antioquia* 2022 :164-74. doi.org/10.17533/udea.redin. 20210634.
4. Sohrabi N, Alihosseini A, Pirouzfar V, Pedram MZ. Analysis of dynamics targeting CNT-based drug delivery through lung cancer cells: Design, simulation, and computational approach. *Membranes* 2020; 10:283. doi.org/10.3390/membranes 10100283.
5. Morales P, Isawi I, Reggio PH. Towards a better understanding of the cannabinoid-related orphan receptors GPR3, GPR6, and GPR12. *Drug Metab Rev* 2018; 50:74-93. doi.org/10.1080/03602532.2018.1428616.
6. Barazandeh A, Najafpour GD, Alihosseini A, Kazemi S, Akhondi E. Spectrophotometric Determination of Naproxen Using Chitosan Capped Silver Nanoparticles in Pharmaceutical Formulation. *Int J Eng* 2021 ; 34:1576-85. doi.org/10.5829/IJE.2021.34.07A.03.
7. Spagnuolo C, Russo GL, Orhan IE, Habtemariam S, Daglia M, et al. Genistein and cancer: current status, challenges, and future directions. *Adv Nutr* 2015; 6:408-19. doi.org/10.3945/an.114.008052.
8. Ronis MJ. Effects of soy containing diet and isoflavones on cytochrome P450 enzyme expression and activity. *Drug Metab Rev* 2016; 48:331-41. doi.org/10.1080/03602532.2016.1206562.
9. Ardito F, Di Gioia G, Pellegrino MR, Muzio LL. Genistein as a Potential Anticancer Agent Against Head and Neck Squamous Cell Carcinoma. *Curr Top Med Chem* 2018 ; 18:174-81. doi.10.2174/1568026618666180116122650.
10. Chae HS, Xu R, Won JY, Chin YW, Yim H. Molecular targets of genistein and its related flavonoids to exert anticancer effects. *Int J Mol Sci* 2019; 20:2420. doi.org/10.3390/ijms 20102420.
11. Zava DT, Duwe G. Estrogenic and antiproliferative properties of genistein and other flavonoids in human breast cancer cells in vitro. *Nutr Cancer* 1997; 31-40. doi.org/10.1080/01635589709514498.
12. Han S, Wu H, Li W, Gao P. Protective effects of genistein in homocysteine-induced endothelial cell inflammatory injury. *Mol Cell Biochem* 2015; 403:43-9. doi.org/10.1007/s11010-015-2335-0.
13. Okazaki K, Okazaki S, Nakamura H, Kitamura Y, Hatayama K, et al. A repeated 28-day oral dose toxicity study of genistein in rats, based on the Enhanced OECD Test Guideline 407 for screening endocrine-disrupting chemicals. *Arch Toxicol* 2002; 76:553-9. doi/ 10.1007/s00204-002-0376-0.
14. Friso A, Tomanin R, Salvalaio M, Scarpa M. Genistein reduces glycosaminoglycan levels in a mouse model of mucopolysaccharidosis type II. *Br J Pharmacol* 2010; 159:1082-91. doi.org/10.1111/j.1476-5381.2009.00565.x.
15. Sail V, Hadden MK. Notch pathway modulators as anticancer chemotherapeutics. *Chem Biol Drug Des* 2012; 47:267-80. doi.org/10.1016/B978-0-12-396492-2.00018-7.
16. Kavitha T, Abdi SI, Park SY. pH-sensitive Nanocargo based on smart polymer functionalized graphene oxide for site-specific drug delivery. *Phys Chem Chem Phys* 2013; 15:5176-85. doi.org/10.1039/C3CP00008G.
17. Tan J, Meng N, Fan Y, Su Y, Zhang M, et al. Hydroxypropyl-β-cyclodextrin-graphene oxide conjugates: Carriers for anti-cancer drugs. *Mater Sci Eng C Mater Biol Appl* 2016; 61:681-7. doi.org/10.1016/j.msec.2015.12.098.

18. Xie M, Zhang F, Liu L, Zhang Y, Li Y, et al. Surface modification of graphene oxide nanosheets by protamine sulfate/sodium alginate for anti-cancer drug delivery application. *Appl Sur Sci* 2018; 440:853-60. doi.org/10.1016/j.apsusc.2018.01.175.
19. Madani SY, Mandel A, Seifalian AM. A concise review of carbon nanotube's toxicology. *Nano rev* 2013; 4:21521. doi.org/10.3402/nano. v4i0.21521.
20. Wang Y, Wu S, Zhao X, Su Z, Du L, et al. In vitro toxicity evaluation of graphene oxide on human RPMI 8226 cells. *Biomed Mater Eng* 2014; 24:2007-13. doi: 10.3233/BME-141010.
21. Ou L, Song B, Liang H, Liu J, Feng X, et al. Toxicity of graphene-family nanoparticles: a general review of the origins and mechanisms. *Part Fibre Toxicol* 2016; 13:1-24. doi.org/10.1186/s12989-016-0168-y.
22. Kumar S, Sharma S, Karmaker R, Sinha D. DFT study on the structural, optical and electronic properties of platinum group doped graphene. *Mater Today Commun* 2021; 26:101755. doi.org/10.1016/j.mtcomm.2020.101755.
23. Ni J, Quintana M, Song S. Adsorption of small gas molecules on transition metal (Fe, Ni and Co, Cu) doped graphene: A systematic DFT study. *Phy Low-dimen Sys Nanostruct* 2020; 116: 113768. doi.org/10.1016/j.physe.2019.113768.
24. Al-Otaibi JS, Mary YS, Mary YS, Kaya S, Erkan S. Spectral analysis and DFT investigation of some benzopyran analogues and their self-assemblies with graphene. *J Mol Liquid* 2020; 317:113924. doi.org/10.1016/j.molliq.2020.113924.
25. Esrafili M, Nejad Ebrahimi B. A Computational Study about Reduction of Carbon Dioxide by Hydrogen Molecule over Graphene Surface Doped with Ni and N Atoms. *Nashrieh Shimi va Mohandes Shimi Iran*. 2021; 39:109-18.
26. Parr RG. Density Functional Theory of Atoms and Molecules. Proceeding of the Third International Congress of Quantum Chemistry Held at Kyoto, Japan. 1979; 3: 5-15. doi: 10.1007/978-94-009-9027-2_2.
27. Karimi P, Sanchooli M. Investigation of Ability of Graphene-Based Nanostructures as Sodium Ion Batteries. *Nashrieh Shimi va Mohandes Shimi Iran*. 2020; 38:23-30.
28. Mohammed MH, Ajeel FN, Khudhair AM. Adsorption of gas molecules on graphene nanoflakes and its implication as a gas nanosensor by DFT investigations. *Chinese J Physic* 2017; 55:1576-82. doi.org/10.1016/j.cjph.2017.05.013.
29. Shameli A, Balali E. The Study of absorption of drug anticancer Chlorambucil on Graphene: A DFT Study. *J Quantum Chem Spectroscopy* 2018; 8: 73-85.
30. Chu S, Hu L, Hu X, Yang M, Deng J. Titanium-embedded graphene as high-capacity hydrogen-storage media. *Int J Hydrog Energy* 2011; 36:12324-8. doi.org/10.1016/j.ijhydene.2011.07.015.
31. Aktürk OÜ, Tomak M. Adsorption of RuSex ($x=1-5$) cluster on Se-doped graphene: First principle calculations. *Appl Surf Sci* 2015; 347:808-15. doi.org/10.1016/j.apsusc.2015.04.124.
32. Zhou Q, Wang C, Fu Z, Tang Y, Zhang H. Adsorption of formaldehyde molecule on Stone-Wales defected graphene doped with Cr, Mn, and Co: a theoretical study. *Comput Mater Sci* 2014; 83:398-402. doi.org/10.1016/j.commatsci.2013.11.036.
33. Farshad S, Darvish Ganji M. Theoretical study of interaction between aspirine drug and Al-soped graphene nanostructure toward designing of suitable nanocarrier for drug delivery. *Med Sci J Islamic Azad Uni Tehran* 2020; 30:141-54. doi.org/10.29252/iau.30.2.141.
34. Liang J, Li P, Zhao X, Liu Z, Fan Q, et al. Distinct interface behaviors of Ni (II) on graphene oxide and oxidized carbon nanotubes triggered by different topological aggregations. *Nanoscale* 2018; 10:1383-93. doi:10.1039/C7NR07966D.
35. Koumpouras K, Larsson JA. Distinguishing between chemical bonding and physical binding using electron localization function (ELF). *J Phys Condens Matter* 2020; 32:315502. doi.org/10.1088/1361-648X/ab7fd8.